

核磁気共鳴イメージング(MRI)

(a) 超伝導磁石MRI(東芝MS) (c) 永久磁石MRI(日立メディコ)



(b) 頭部MRI画像 (3T)



(d) スピンエコー法による腹部水平横断画像

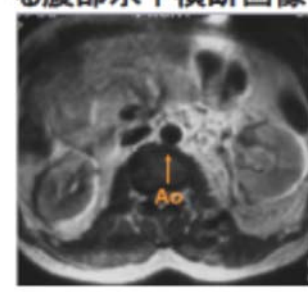
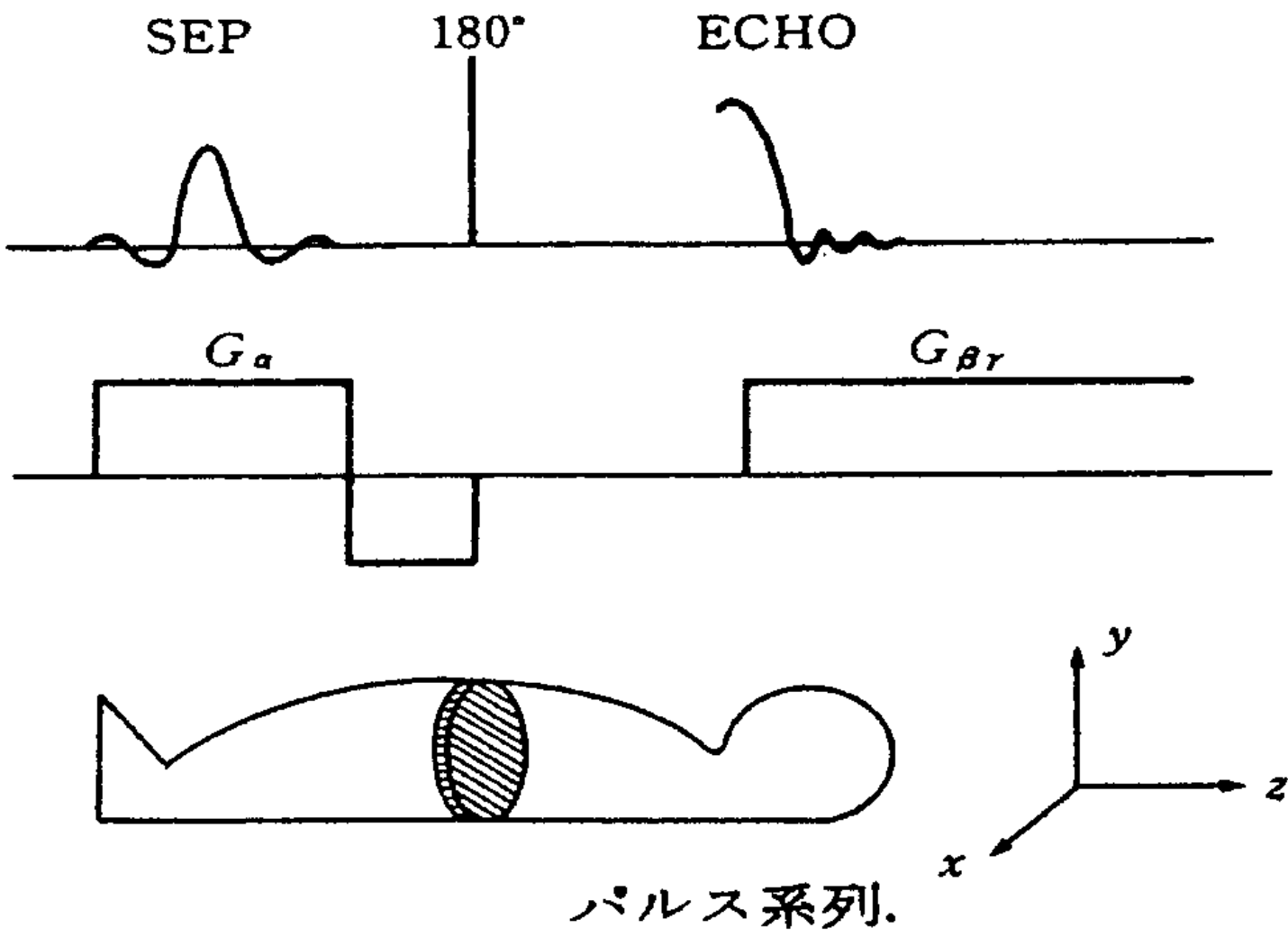


図 7.4: 医療用 MRI 装置と MRI 画像.



線形磁場勾配をエンコードした時の波動関数の時間および位置変化

$$|\psi'(t, x)\rangle = \exp[iI_z[\gamma G_x x(t-2\tau)]] \exp[(iI_z \Delta\omega_0(t-\tau)]$$

$$\exp(iI_y\pi) \exp[iI_z(\Delta\omega_0\tau)] \exp(iI_x\pi/2) |\mathbf{M}_0\rangle$$

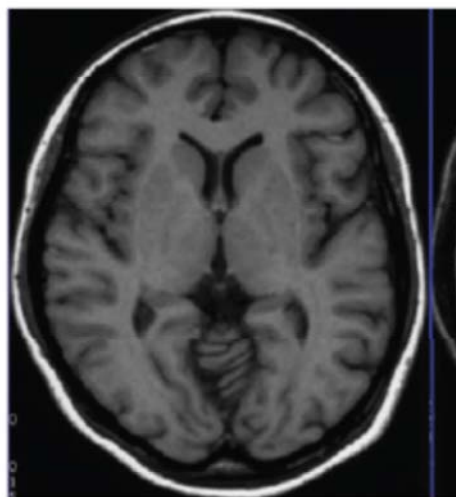
$$\langle \psi'(t, x) | I_y | \psi'(t, x) \rangle = \mathbf{M}(x) \cos [\Delta\omega_0(t-2\tau)] \cos[\gamma G_x x(t - 2\tau)]$$

MRIで観測されるスピニエコー

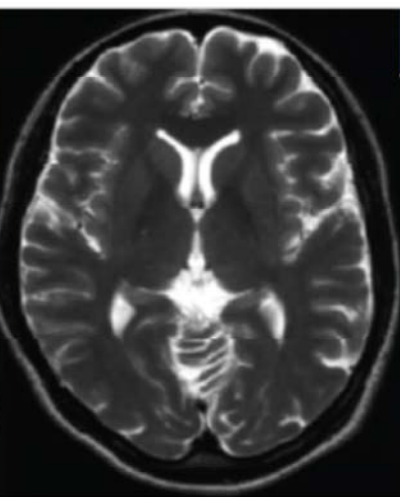
$$t > 2\tau$$

$$M(t) = \int M(x) \cos[\gamma G_x x(t - 2\tau)] dx \cdot \exp(-[t - 2\tau]/T_2)$$

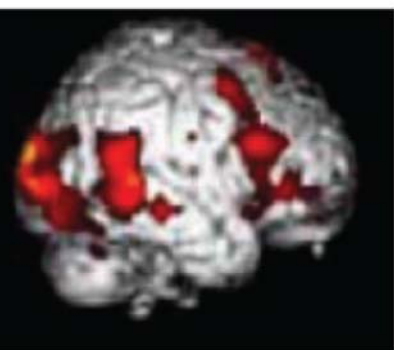
以上のように、スピニエコー法を用いると、NMR パラメータの空間分布が得られ、それぞれの NMR パラメータを強調した画像となる。短い τ と T_R の場合には、 T_1 強調画像となり、長い τ と T_R の場合には、 T_2 強調画像となる。一例として、 T_1 と T_2 強調頭部 MIR 画像をそれぞれ図 7.14(a) と (b) に示す。



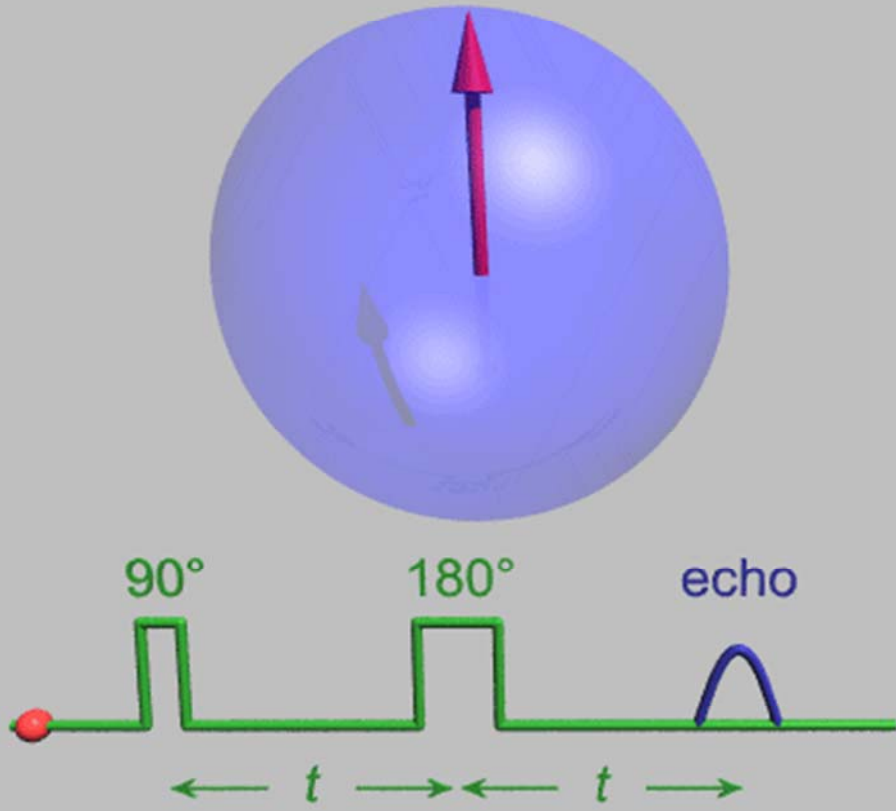
(a) T_1 強調画像



(b) T_2 強調画像

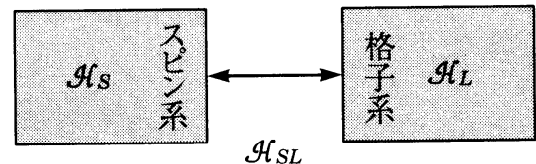


(c) 機能的MRI画像

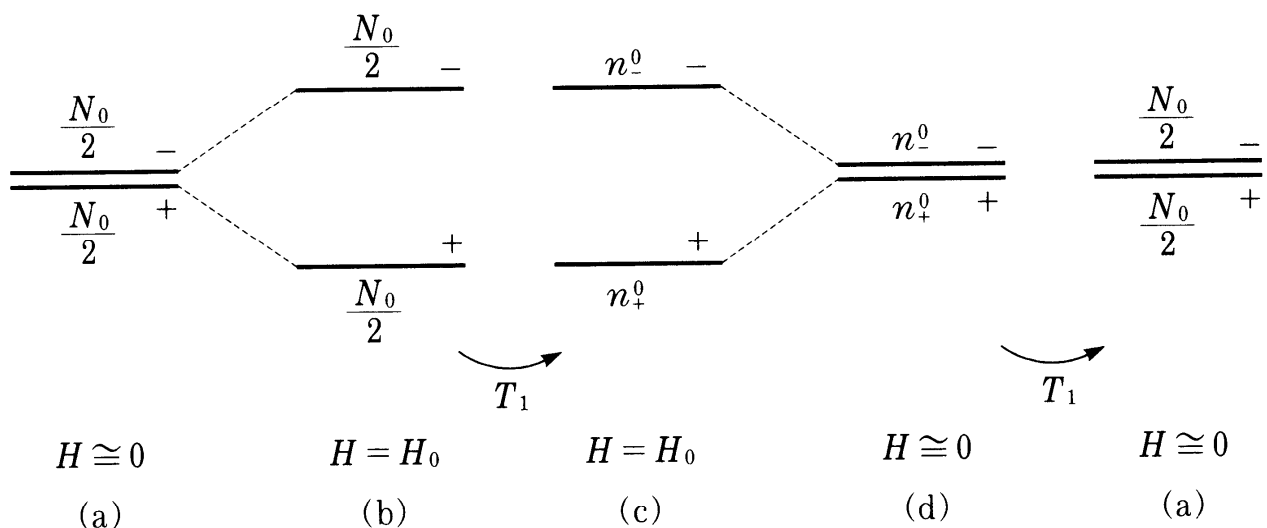


スピン格子緩和

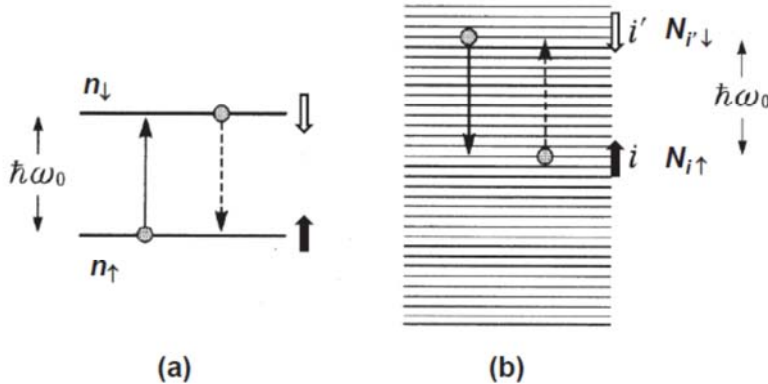
$$\mathcal{H} = \mathcal{H}_S + \mathcal{H}_L + \mathcal{H}_{SL}$$



1-2図 スピン系と格子系のエネルギー交換



1-3図 スピン分布の時間的変化 (+, -はスピンの向きを示す)



次に、磁化が時間の関数として、どのように成長するのかを $I = 1/2$ の場合について調べる。図 3.5 のように、格子系のエネルギー準位が連続的に分布しており、格子系を構成する粒子の分布は常に熱平衡状態にあるとする。 i 番目の準位と $\hbar\omega_0$ だけ高い準位 i' の分布数をそれぞれ $N_{i\uparrow}$ と $N_{i'\downarrow}$ とする。 \mathcal{H}_{IS} によって核スピン系と電子スピン系とがエネルギーを交換する確率を $W_{i,i'}$ とすると、上向きスピンと下向きスピンのそれぞれの占有数 n_\uparrow と n_\downarrow の時間変化は、 $W_{i,i'} = W_{i',i} = W_i$ において、

$$\begin{aligned}\frac{dn_\uparrow}{dt} &= \sum_i (-n_\uparrow N_{i'\downarrow} W_i + n_\downarrow N_{i\uparrow} W_i) \\ \frac{dn_\downarrow}{dt} &= \sum_i (-n_\downarrow N_{i\uparrow} W_i + n_\uparrow N_{i'\downarrow} W_i)\end{aligned}\quad (3.35)$$

で与えられる占有率方程式に従う。

$$n \equiv n_\uparrow - n_\downarrow \quad (3.36)$$

と定義すると、

$$\frac{dn}{dt} = 2 \sum_i (n_\downarrow N_{i\uparrow} - n_\uparrow N_{i'\downarrow}) W_i \quad (3.37)$$

で定常状態では、

$$\frac{n_\downarrow^0}{n_\uparrow^0} = \frac{N_{i'\downarrow}}{N_{i\uparrow}} = \exp\left(-\frac{\hbar\omega_0}{k_B T}\right) \quad (3.38)$$

である。ここで、

$$n_\uparrow + n_\downarrow = n_\uparrow^0 + n_\downarrow^0 = N_0$$

であるから、 $\hbar\omega_0/k_B T \ll 1$ として、

$$\begin{aligned}\frac{dn}{dt} &= 2 \left\{ n_\downarrow - n_\uparrow \left(1 - \frac{\hbar\omega_0}{k_B T}\right) \right\} \sum_i W_i N_{i\uparrow} \\ &\simeq -2W(n - n_0)\end{aligned}\quad (3.39)$$

が得られる。ここで、

$$W \equiv \sum_i W_i N_{i\uparrow}$$

$$n_0 \equiv n_{\uparrow}^0 - n_{\downarrow}^0 \simeq N_0 \frac{(e^{-E_{\uparrow}/k_B T} - e^{-E_{\downarrow}/k_B T})}{2} \simeq \frac{N_0}{2} \left(\frac{E_{\downarrow} - E_{\uparrow}}{k_B T} \right) \simeq \frac{N_0}{2} \frac{\hbar\omega_0}{k_B T}$$

$$n_{\uparrow} \frac{\hbar\omega_0}{k_B T} \simeq \frac{N_0}{2} \frac{\hbar\omega_0}{k_B T}$$

を導入した。 $M_z = \gamma_n \hbar (n/2)$ および $M_0 = \gamma_n \hbar (n_0/2)$ を使って、式(3.39)の微分方程式は、

$$\frac{dM_z(t)}{dt} = \frac{M_0 - M_z}{T_1}$$

と書け、初期条件を $t=0$ で $M_z(0)=0$ 、また $T_1 \equiv (2W)^{-1} M(t)$ とすると、 $M_z(t)$ は、

$$M_z(t) = M_0 \left\{ 1 - \exp \left(-\frac{t}{T_1} \right) \right\}$$

に従って熱平衡値 M_0 に近づく。この T_1 を核スピン-格子緩和時間、あるいは縦緩和時間という。

$$dn/dt = 2U[n_- - n_+ + n_+(\hbar\omega_0/k_B T)]$$

$$= -2U[n - n_+(\hbar\omega_0/k_B T)]$$

$$= -2U[n - (N_0/2)(\hbar\omega_0/k_B T)]$$

$$= -2U[n - n_0]$$

$$n_+^0 = N_0 \exp(-E_+/k_B T) / [\exp(-E_+/k_B T) + \exp(-E_-/k_B T)]$$

$$= (N_0/2)[1 - E_+/k_B T]$$

$$n_-^0 = N_0 \exp(-E_-/k_B T) / [\exp(-E_+/k_B T) + \exp(-E_-/k_B T)]$$

$$= (N_0/2)[1 - E_-/k_B T]$$

$$n_0 = n_+^0 - n_-^0 = (N_0/2)[(E_- - E_+)/k_B T] = (N_0/2)(\hbar\omega_0/k_B T)$$

T_1 の測定法

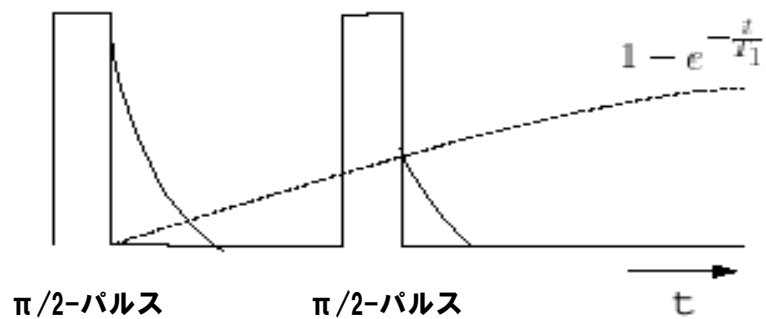


図 8: 90° - 90° パルスによる T_1 の測定

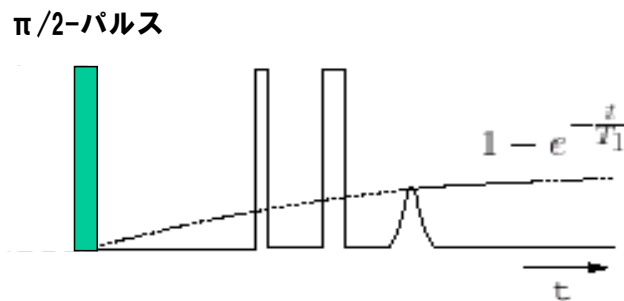
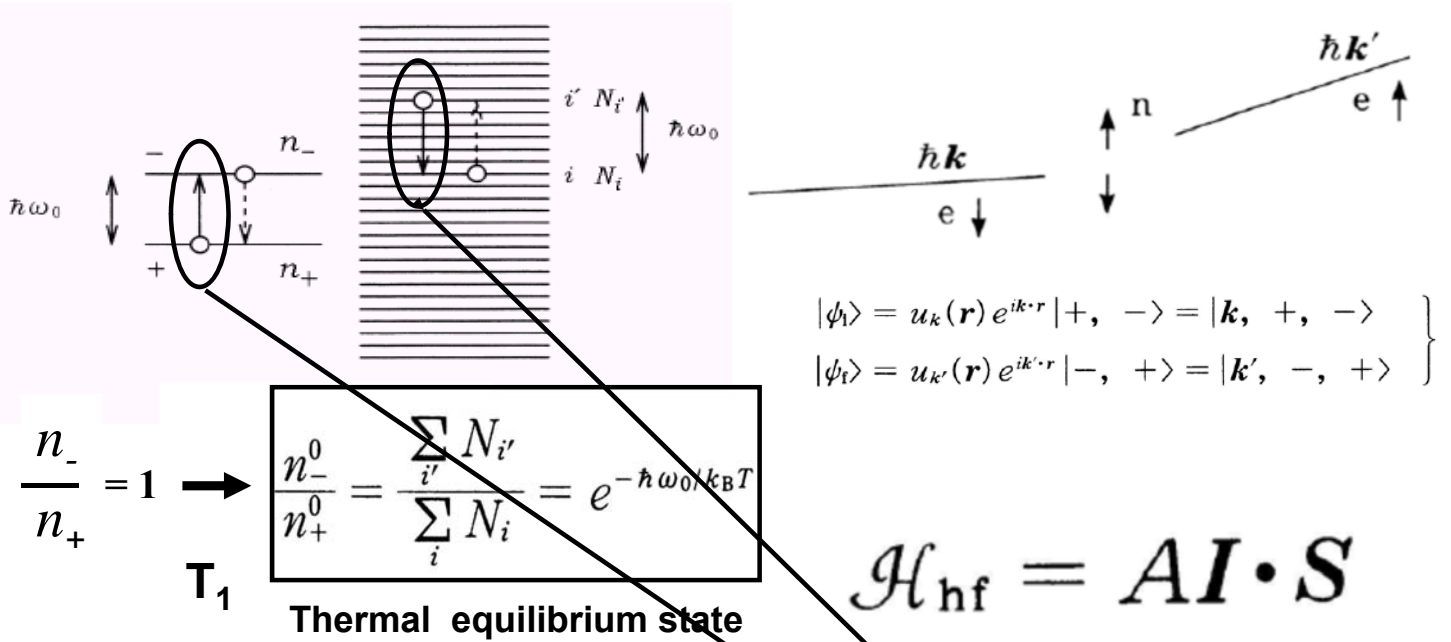


図 9: 櫛状パルスによる T_1 の測定

Nuclear-spin relaxation ($1/T_1$) process



A : Fermi-contact hyperfine interaction (s-electrons)

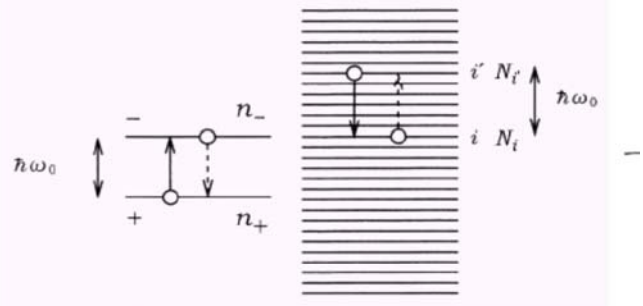
$$\mathcal{H}_F = \frac{8\pi}{3} \gamma_n \gamma_e \hbar^2 \delta(\mathbf{r}) \left\{ I_z S_z + \frac{1}{2} (I_+ S_- + I_- S_+) \right\}$$

Hyperfine interactions:

$$\mathcal{H}' = -\gamma_n \hbar \mathbf{I} \cdot \delta \mathbf{H}$$

$\delta \mathbf{H}$: electrons spin fluctuations

$$1/T_1 \sim W_{a,b}$$



$$\frac{n_-}{n_+} = 1 \rightarrow \frac{n_-^0}{n_+^0} = \frac{\sum_i' N_{i'}}{\sum_i N_i} = e^{-\hbar \omega_0 / k_B T}$$

Thermal equilibrium state

$$W_{a,b} = \frac{2\pi}{\hbar} |\langle a | \mathcal{H}' | b \rangle|^2 \delta(E_a - E_b)$$

$$W_{m,\nu \rightarrow m+1,\nu'} = \frac{2\pi}{\hbar} \left(\frac{\gamma_n \hbar}{2} \right)^2 |\langle m | I_+ | m+1 \rangle \langle \nu | \delta H_- | \nu' \rangle|^2 \delta(E_{\nu'} - E_\nu - \hbar \omega_0)$$

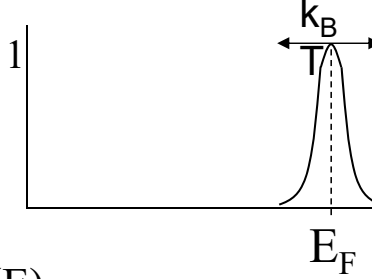
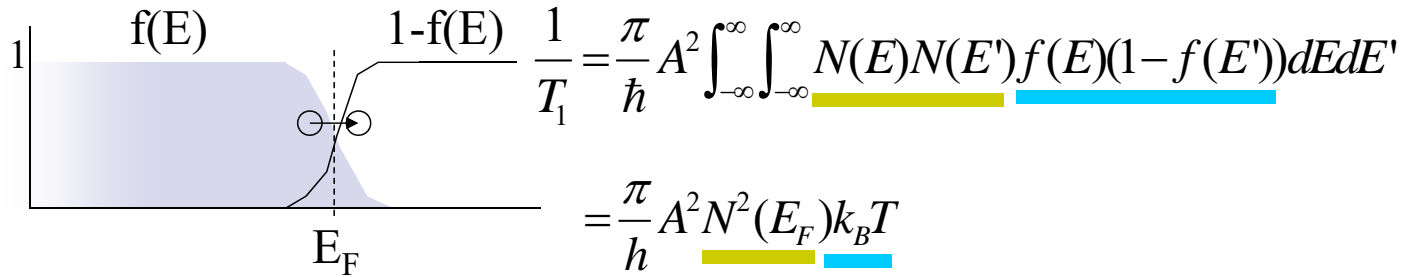
Here,

$$\delta H_{\pm} = \delta H_x \pm i \delta H_y \quad \delta(E_{\nu'} - E_\nu - \hbar \omega_0) = \frac{1}{2\pi\hbar} \int_{-\infty}^{\infty} e^{i\{(E_{\nu'} - E_\nu)/\hbar - \omega_0\}t} dt$$

NMR – $1/T_1$ –



T_1 in normal state of metals

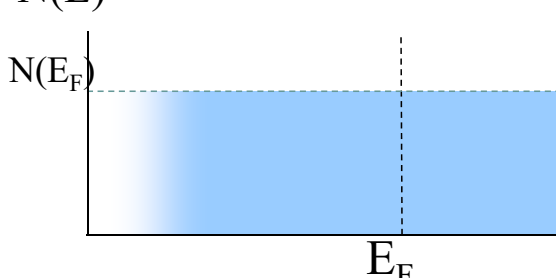


Pauli paramagnetism $\Rightarrow \chi_s = 2\mu_B^2 N(E_F)$

Knight Shift

\Rightarrow

$$K_s = A \chi_s \propto N(E)$$



$$\frac{1}{T_1} \propto K_s^2 k_B T \Rightarrow$$

$$\frac{1}{T_1 T} \propto K^2$$

Korringa Relation: $T_1 T K_s^2 = \frac{\hbar}{4\pi k_B} \left(\frac{\gamma_e}{\gamma_n} \right)^2$

MRIレポート 1

下記のように外部磁場 (H) での熱平衡核磁化 (M_0)を観測後、磁場をオフにする。その後、時間 (t) の関数として磁場を印加して核磁化 [$M(t)$] を観測する時、 $M(t)$ を熱平衡核磁化 (M_0)、時間 (t) と核スピン-格子緩和時間 (T_1) を用いて表せ。

$$t \rightarrow \infty : dn/dt = 0 \quad n_+ = n_-$$

